

## I-21 弹性定数の異なる二相同心円柱を伝わる弾性波の速度について

室蘭工業大学 正員。松岡 健一  
北海道大学 正員 能町 純雄

## 1. まえがき

弹性定数の異なる円柱と厚肉円筒が二相同心円柱を形成しているとき、この同心円柱を柱軸方向に進行する弾性波の伝播速度を知ることは興味のある問題である。本論文は、この問題を了次元弹性理論によって解剖しようとするものである。この問題は円柱および円筒の波動伝播の基礎式と境界の条件を満足するように組合せて解析することができるが、本論では、このときの弾性波の位相速度と群速度の分散曲線を、円柱と円筒の径の比を変化させて求め、さらに若干の波長に対して波動モードを求め、検討を加えた。

## 2. 基礎方程式およびその解

円柱座標における運動方程式は、座標軸を  $r, \theta, z$  とし、 $T_r, T_\theta, T_z$  をそれぞれ  $r, \theta, z$  方向の直応力密度、 $T_{r\theta}, T_{rz}, T_{z\theta}$  をせん断応力密度とする、物体力を無視し、慣性項を考慮して

$$\left. \begin{aligned} & \frac{\partial T_r}{\partial r} + \frac{T_r - T_\theta}{r} + \frac{\partial T_\theta}{\partial \theta} + \frac{\partial T_z}{\partial z} = \rho \frac{\partial^2 u}{\partial t^2} \\ & \frac{\partial T_{r\theta}}{\partial r} + 2 \frac{T_{r\theta}}{r} + \frac{\partial T_\theta}{\partial \theta} + \frac{\partial T_{z\theta}}{\partial z} = \rho \frac{\partial^2 v}{\partial t^2} \\ & \frac{\partial T_{rz}}{\partial r} + \frac{T_{rz}}{r} + \frac{\partial T_{z\theta}}{\partial \theta} + \frac{\partial T_z}{\partial z} = \rho \frac{\partial^2 w}{\partial t^2} \end{aligned} \right\} \quad (1)$$

となる。ただし  $\rho$  は弾性体の密度、 $t$  は時間、 $u, v, w$  はそれぞれ  $r, \theta, z$  方向の変位である。

ここで波動の進行方向を  $z$  方向とし、調和波動を仮定し、各変位および応力成分を次のようになるとく。

$$\left. \begin{aligned} u &= \tilde{u}_m \cos m\theta \cdot e^{ip(t-z/\lambda)}, \quad v = \tilde{v}_m \sin m\theta \cdot e^{ip(t-z/\lambda)}, \\ w &= \tilde{w}_m \cos m\theta \cdot e^{ip(t-z/\lambda)}, \quad T_r = \tilde{T}_{rm} \cos m\theta \cdot e^{ip(t-z/\lambda)}, \\ T_\theta &= \tilde{T}_{\theta m} \cos m\theta \cdot e^{ip(t-z/\lambda)}, \quad T_z = \tilde{T}_{zm} \cos m\theta \cdot e^{ip(t-z/\lambda)}, \\ T_{rz} &= \tilde{T}_{rzm} \cos m\theta \cdot e^{ip(t-z/\lambda)}, \end{aligned} \right\} \quad (2)$$

ただし、 $m = 0, 1, \dots$  で波動の円周方向の性質を表し  $m = 0$  であれば轴対称、 $m = 1$  であれば曲げ波動となる。また  $p$  は角速度、 $\lambda$  は  $z$  方向の波動の伝播速度であり、変位と応力の関係は弾性波動を対象とした FFT の法則が成り立つものとする。

式(1)を式(2)を考慮して半径方向にハンケル変換を行ない、フックの法則も考慮してえられる変位の像関数を逆変換して、各変位成分を求める。この結果、円筒に対する解を示せば、

$$u = (\tilde{A}_{mr} + \tilde{B}_{mr}) \cos m\theta \cdot e^{ip(t-z/\lambda)}, \quad (2)$$

$$v = (\tilde{A}_{mr} - \tilde{B}_{mr}) \sin m\theta \cdot e^{ip(t-z/\lambda)}, \quad (3)$$

$$\begin{aligned} \tilde{A}_{mr} &= \sum_{k=1}^{\infty} \left[ \frac{\chi_{mp}^{(k)}(Nr)}{N_m} \left\{ \frac{1}{2\mu} \alpha_{mk} + (m+1) A_{mk} + (m-1) B_{mk} \right. \right. \\ &\quad \left. \left. - \frac{iN}{2} E_{mk} \right\} + \frac{\mu N^2}{pp^2} \left\{ \frac{\chi_{mp}^{(k)}(Nr)}{N_m} - \frac{N_k}{N^2} \chi_{mp}^{(k)}(Nr) \right\} \right. \\ &\quad \left. \left\{ \frac{1}{2\mu} \beta_{mk} + (m+1) A_{mk} - (m-1) B_{mk} - iN E_{mk} \right\} \right], \end{aligned} \quad (4)$$

$$\begin{aligned} \tilde{B}_{mr} &= \sum_{k=1}^{\infty} \left[ -\frac{\chi_{ms}^{(k)}(Nr)}{N_m} \left\{ \frac{1}{2\mu} \alpha_{mk} + (m+1) A_{mk} + (m-1) B_{mk} \right. \right. \\ &\quad \left. \left. + \frac{iN}{2} E_{mk} \right\} + \frac{\mu N^2}{pp^2} \left\{ \frac{\chi_{ms}^{(k)}(Nr)}{N_m} - \frac{N_k}{N^2} \chi_{ms}^{(k)}(Nr) \right\} \right. \\ &\quad \left. \left\{ \frac{1}{2\mu} \beta_{mk} + (m+1) A_{mk} - (m-1) B_{mk} - iN E_{mk} \right\} \right], \end{aligned} \quad (5)$$

$$\begin{aligned} w &= \tilde{w}_{mr} \cos m\theta \cdot e^{ip(t-z/\lambda)} = \sum_{k=1}^{\infty} \left[ G_m^{(k)}(Nr) E_{mk} \right. \\ &\quad \left. + \frac{2\mu iN}{pp^2} \left\{ G_m^{(k)}(Nr) - G_m^{(k)}(Nr) \right\} \left\{ \frac{1}{2\mu} \beta_{mk} + (m+1) A_{mk} \right. \right. \\ &\quad \left. \left. - (m-1) B_{mk} - iN E_{mk} \right\} \right] \cos m\theta \cdot e^{ip(t-z/\lambda)}, \end{aligned} \quad (6)$$

上式中  $\mu, \lambda$  はラムダ弾性係数、 $N = p/\lambda = 2\pi/\lambda$   $= \pi/l$ ,  $l$  は波長、 $\lambda$  は半波長であり式中の角数は。

$$G_m^{(k)}(Nr) = \frac{R_{km}^{(k)}(Nr)}{R_{km}^{(k)}(Na_k)}, \quad \chi_{mp}^{(k)}(Nr) = \frac{R_{km}^{(k)}(Nr)}{R_{km}^{(k)}(Na_k)}$$

$$\chi_{ms}^{(k)}(Nr) = \frac{R_{km}^{(k)}(Nr)}{R_{km}^{(k)}(Na_k)},$$

$$N_m^2 = N^2 \left( 1 - \frac{pp^2}{\mu N^2} \right) = N^2 \left( 1 - \frac{p}{\mu} V^2 \right),$$

$$N_k^2 = N^2 \left( 1 - \frac{p}{2\mu + \lambda} \frac{p}{N^2} \right) = N^2 \left( 1 - \frac{p}{2\mu + \lambda} V^2 \right),$$

であり、外筒の外径を  $a_1$ 、内径を  $a_2$  とすれば、

$$R_{km}^{(k)}(Nr) = I_j(Nr) K_m(Na_{k-1}) - (-1)^{j+m} I_m(Na_{k-1}) K_j(Nr)$$

である。ただし、 $a_0 = a_2$ ,  $j = m-1, m, m+1$ ,  $k = 1, 2$

であり、 $I, K$  はオイラー種およびオニモフ種の変形ベリセル関数である。また式中の係数  $\alpha_{mk}, \beta_{mk}, A_{mk}, B_{mk}$ ,

$E_{mk}$  は円筒の内外面における変位および応力で、

$$\begin{aligned} \alpha_{mk} &= (\tilde{U}_{r,m})_{r=a_k}, \beta_{mk} = (\tilde{V}_{r,m})_{r=a_k}, \\ A_{mk} &= (\tilde{U}_m + \tilde{V}_m)_{r=a_k}/2\alpha_k, B_{mk} = (\tilde{U}_m - \tilde{V}_m)_{r=a_k}/2\alpha_k, \\ E_{mk} &= \tilde{W}_m)_{r=a_k}, \end{aligned} \quad (6)$$

となる。

以上円筒に対する解を示したが、円柱の場合は、上に示した式で  $A_2 = 0$  とすれば良い。従って  $k = 1$  のみとなり、式中の関数は、

$$R_{jm}^{(i)}(Nr) = I_j(Nr), \quad j = m-1, m, m+1,$$

となる。

$Nu, Na$  は、 $\nabla$ の大きさによっては、虚数となることがあるが、このときは変形ベッセル関数  $K$  は、オイコロビアオイコロビアのベッセル関数  $J$  で与えられることが多い。

また各応力成分は、式(2)～(6)からフックの法則を用いて次のように表わされる。

$$\tilde{\sigma}_r = \left\{ 2\mu \left( \frac{\partial \tilde{A}_{mr}}{\partial r} + \frac{\partial \tilde{B}_{mr}}{\partial r} \right) + \lambda A \right\} \cos m\theta \cdot e^{iP(t-\pi/r)}, \quad (7)$$

$$\tilde{\sigma}_\theta = \left\{ \mu \left( \frac{m+1}{r} \tilde{A}_{mr} - \frac{m-1}{r} \tilde{B}_{mr} \right) + \lambda A \right\} \cos m\theta \cdot e^{iP(t-\pi/r)}, \quad (8)$$

$$\tilde{\tau}_{rz} = \left\{ -2\mu i(\tilde{W}_m + \lambda A) \right\} \cos m\theta \cdot e^{iP(t-\pi/r)}, \quad (9)$$

$$\Delta = \frac{2\mu}{2\mu + \lambda} \sum_{k=1}^{\infty} G_m^{(k)}(Nr) \left\{ \frac{1}{2\mu} \beta_{mk} + (m+1)A_{mk} - (m-1)B_{mk} - (N\alpha_{mk}) \right\}, \quad (10)$$

$$\begin{aligned} \tilde{\tau}_{rr} &= \mu \left\{ \frac{\partial \tilde{A}_{mr}}{\partial r} - \frac{\partial \tilde{B}_{mr}}{\partial r} - \frac{m+1}{r} \tilde{A}_{mr} - \frac{m-1}{r} \tilde{B}_{mr} \right\} \\ &\quad \cdot \sin m\theta \cdot e^{iP(t-\pi/r)}, \end{aligned} \quad (11)$$

$$\tilde{\tau}_{\theta r} = \mu \left\{ -\frac{m}{r} \tilde{W}_m - N(\tilde{A}_{mr} - \tilde{B}_{mr}) \right\} \sin m\theta \cdot e^{iP(t-\pi/r)}, \quad (12)$$

$$\tilde{\tau}_{\theta\theta} = \mu \left\{ \frac{2\tilde{W}_m}{r^2} - c'N(\tilde{A}_{mr} + \tilde{B}_{mr}) \right\} \cos m\theta \cdot e^{iP(t-\pi/r)}, \quad (13)$$

### 3. 固有値方程式

Fig. 1 に示すように、円柱を取りまく弾性定数の異なる円筒が同心円柱に重ねられていくものとする。この二相同心円柱を伝わる弹性波の速度は、2. で求めた円筒および円柱の解を用いて、これらを組合せて円筒と円柱の境界の境界条件を満足するように導かれた境界条件式からなる固有値方程式の固有値問題として示される。いま円筒を表すすべての量を添字 1, 円柱を添字 2 で表すものとする。円筒と円柱の境界の条件を考えるに先立ち、 $A_{mk}, B_{mk}$  (は式(6)の式 3,

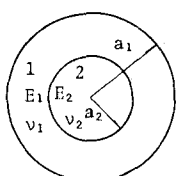


Fig. 1 = 相同心円柱

より 4 項から、次の適合条件を満足しなければならぬ  
円筒に対して

$$\begin{aligned} \alpha_{mk} A_{mk-1} &= \tilde{A}_{mk-1})_{r=a_k} = \sum_{j=1}^{\infty} \left[ \frac{X_{mj}^{(j)}(N\alpha_{mk})}{N\alpha_{mk}} \left\{ \frac{1}{3\mu} \alpha_{mj-1} \right. \right. \\ &\quad \left. \left. + (m+1)A_{mj-1} + (m-1)B_{mj-1} - \frac{c'N}{Z} E_{mj-1} \right\} \right] \frac{\mu_1 N^2}{\rho_1 P_1^2} \left\{ \frac{X_{mj}^{(j)}(N\alpha_k)}{N\alpha_k} \right\} \\ &\quad - \frac{N\alpha_k}{N^2} X_{mj}^{(j)}(N\alpha_k) \left[ \frac{1}{3\mu_1} \rho_{mj-1} + (m+1)A_{mj-1} - (m-1)B_{mj-1} - c'N E_{mj-1} \right], \end{aligned} \quad (14)$$

$$\begin{aligned} \alpha_{mk} B_{mk-1} &= \tilde{B}_{mk-1})_{r=a_k} = \sum_{j=1}^{\infty} \left[ \frac{X_{mj}^{(j)}(N\alpha_{mk})}{N\alpha_{mk}} \left\{ \frac{1}{3\mu} \alpha_{mj-1} + (m+1)A_{mj-1} \right. \right. \\ &\quad \left. \left. + (m-1)B_{mj-1} + c'N E_{mj-1} \right\} \right] \frac{\mu_1 N^2}{\rho_1 P_1^2} \left\{ \frac{X_{mj}^{(j)}(N\alpha_k)}{N\alpha_k} - \frac{N\alpha_k}{N^2} X_{mj}^{(j)}(N\alpha_k) \right\} \\ &\quad - \left[ \frac{1}{3\mu_1} \rho_{mj-1} + (m+1)A_{mj-1} - (m-1)B_{mj-1} - c'N E_{mj-1} \right], \end{aligned} \quad (15)$$

円柱に対して

$$\begin{aligned} \alpha_{2z} A_{m+1,2} &= \tilde{A}_{m+1,2})_{r=a_2} = \frac{X_{mp}(N\alpha_{2z})}{N\alpha_{2z}} \left\{ \frac{1}{3\mu_2} \alpha_{m+1,2} + (m+1)A_{m+1,2} \right. \\ &\quad \left. + (m-1)B_{m+1,2} - \frac{c'N}{Z} E_{m+1,2} \right\} + \frac{\mu_2 N^2}{\rho_2 P_2^2} \left\{ \frac{X_{mp}(N\alpha_{2z})}{N\alpha_{2z}} - \frac{N\alpha_{2z}}{N^2} X_{mp}(N\alpha_{2z}) \right\} \\ &\quad - \left[ \frac{1}{3\mu_2} \rho_{m+1,2} + (m+1)A_{m+1,2} - (m-1)B_{m+1,2} - c'N E_{m+1,2} \right], \end{aligned} \quad (16)$$

$$\begin{aligned} \alpha_{2z} B_{m+1,2} &= \tilde{B}_{m+1,2})_{r=a_2} = -\frac{X_{mp}(N\alpha_{2z})}{N\alpha_{2z}} \left\{ \frac{1}{3\mu_2} \alpha_{m+1,2} + (m+1)A_{m+1,2} \right. \\ &\quad \left. + (m-1)B_{m+1,2} - \frac{c'N}{Z} E_{m+1,2} \right\} + \frac{\mu_2 N^2}{\rho_2 P_2^2} \left\{ \frac{X_{mp}(N\alpha_{2z})}{N\alpha_{2z}} - \frac{N\alpha_{2z}}{N^2} X_{mp}(N\alpha_{2z}) \right\} \\ &\quad - \left[ \frac{1}{3\mu_2} \rho_{m+1,2} + (m+1)A_{m+1,2} - (m-1)B_{m+1,2} - c'N E_{m+1,2} \right], \end{aligned} \quad (17)$$

次に境界条件を考える

1).  $r = a_1$  における条件: 円筒の外側には応力が存在しないので、

$$\text{i). } \tilde{\sigma}_{r1})_{r=a_1} = 0, \quad \therefore \beta_{m+1,1} = 0 \quad (18)$$

$$\text{ii). } \tilde{\tau}_{r1})_{r=a_1} = 0, \quad \therefore \alpha_{m+1,1} = 0 \quad (19)$$

$$\text{iii). } \tilde{\tau}_{\theta1})_{r=a_1} = 0, \quad (20)$$

2).  $r = a_2$  における条件:  $r = a_2$  では円筒と円柱が接触している。この境界面では、変位とこの面に作用する応力が連続している場合と、この面にせん断応力が存在しない場合が考えられるが、ここでは前者の条件によるものとする。従って、

$$\text{iv). } u_1)_{r=a_2} = u_2)_{r=a_2}, v_1)_{r=a_2} = v_2)_{r=a_2},$$

$$\therefore A_{m+1,2} = A_{m+1,2}, B_{m+1,2} = B_{m+1,2}. \quad (21)$$

$$\text{v). } w_1)_{r=a_2} = w_2)_{r=a_2}, \quad \therefore E_{m+1,2} = E_{m+1,2}, \quad (22)$$

$$\text{vi). } \tilde{\sigma}_{r1})_{r=a_2} = \tilde{\sigma}_{r2})_{r=a_2}, \quad \therefore \beta_{m+1,2} = \beta_{m+1,2}, \quad (23)$$

$$\text{vii). } \tilde{\tau}_{r1})_{r=a_2} = \tilde{\tau}_{r2})_{r=a_2}, \quad \therefore \alpha_{m+1,2} = \alpha_{m+1,2}, \quad (24)$$

$$\text{viii). } \tilde{\tau}_{\theta1})_{r=a_2} = \tilde{\tau}_{\theta2})_{r=a_2}, \quad (25)$$

となる。式(20)と(25)は、式(13)を用いて、書き下せば

$$\begin{aligned}
& \sum_{k=1}^{\infty} \left[ \frac{m^2 N}{N_{M,k}} G_m^{(k)}(N_{M,k}) \alpha_{M,k+1} + \frac{i m N^2}{P_1 P_2} \left\{ Z \frac{N_{M,k}}{N} (X_{M,p}^{(k)}(N_{M,k}) + \frac{m}{N_{M,k}} G_m^{(k)}(N_{M,k})) \right. \right. \\
& \cdot G_m^{(k)}(N_{M,k}) - \left( \frac{N}{N_{M,k}} + \frac{N_{M,k}}{N} \right) (X_{M,p}^{(k)}(N_{M,k}) + \frac{m}{N_{M,k}} G_m^{(k)}(N_{M,k})) \Big\} \\
& \cdot \{ \beta_{M,k+1} + 2U_1 ((M+1)A_{M,k+1} - (M-1)B_{M,k+1} - i N E_{M,k+1}) \} + \frac{i m N}{a_1} \\
& \cdot \frac{2U_1}{N_{M,k}} \{ (M+1)A_{M,k+1} + (M-1)B_{M,k+1} \} G_m^{(k)}(N_{M,k}) + U_1 \left( \frac{N^2}{N_{M,k}} + N_{M,k} \right) \\
& \cdot \{ X_{M,p}^{(k)}(N_{M,k}) + \frac{m}{N_{M,k}} G_m^{(k)}(N_{M,k}) \} E_{M,k+1} = 0, \quad (20')
\end{aligned}$$
  

$$\begin{aligned}
& \sum_{k=1}^{\infty} \left[ \frac{m^2 N}{N_{M,k}} G_m^{(k)}(N_{M,k}) \alpha_{M,k+1} + \frac{i m N^2}{P_1 P_2} \left\{ Z \frac{N_{M,k}}{N} (X_{M,p}^{(k)}(N_{M,k}) + \frac{m}{N_{M,k}} G_m^{(k)}(N_{M,k})) \right. \right. \\
& \cdot G_m^{(k)}(N_{M,k}) - \left( \frac{N}{N_{M,k}} + \frac{N_{M,k}}{N} \right) (X_{M,p}^{(k)}(N_{M,k}) + \frac{m}{N_{M,k}} G_m^{(k)}(N_{M,k})) \Big\} \\
& \cdot \{ \beta_{M,k+1} + 2U_1 ((M+1)A_{M,k+1} - (M-1)B_{M,k+1} - i N E_{M,k+1}) \} + \frac{i m N}{a_2} \\
& \cdot \frac{2U_1}{N_{M,k}} \{ (M+1)A_{M,k+1} + (M-1)B_{M,k+1} \} G_m^{(k)}(N_{M,k}) + U_1 \left( \frac{N^2}{N_{M,k}} + N_{M,k} \right) \\
& \cdot \{ X_{M,p}^{(k)}(N_{M,k}) + \frac{m}{N_{M,k}} G_m^{(k)}(N_{M,k}) \} E_{M,k+1} - \frac{i m N}{N_{M,k} a_2} \alpha_{M,k+2} \\
& - \frac{c^2 N^2}{P_2 P_2} \left\{ Z \frac{N_{M,k}}{N} (X_{M,p}^{(k)}(N_{M,k}) + \frac{m}{N_{M,k}} G_m^{(k)}(N_{M,k})) - \left( \frac{N}{N_{M,k}} + \frac{N_{M,k}}{N} \right) \left( \frac{m}{N_{M,k}} \right. \right. \\
& \left. \left. + X_{M,p}^{(k)}(N_{M,k}) \right) \right\} \beta_{M,k+2} + 2U_2 ((M+1)A_{M,k+2} - (M-1)B_{M,k+2}) \\
& - i N E_{M,k+2} \} - \frac{i m N}{a_2} \frac{2U_2}{N_{M,k}} \{ (M+1)A_{M,k+2} + (M-1)B_{M,k+2} \} \\
& - U_2 \left( \frac{N^2}{N_{M,k}} + N_{M,k} \right) \{ X_{M,p}^{(k)}(N_{M,k}) + \frac{m}{N_{M,k}} G_m^{(k)}(N_{M,k}) \} E_{M,k+2} = 0, \quad (21')
\end{aligned}$$

となる。この固有値方程式の根として位相速度が求められる。

#### 4. 数値解析

数値解釈例として、ボアソン比  $\nu_1 = 1/6$ ,  $\nu_2 = 0.3$ , 弹性係数比  $E_2/E_1 = 7.0$ , 密度比  $\rho_2/\rho_1 = 3.2$  のもので,  $a_2/a_1 = 0.0$

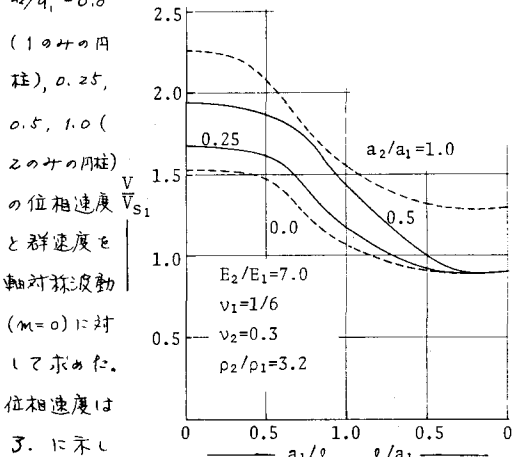


Fig. 2 位相速度分散曲線

して考えら

れるが、固

有値は反復

法によりさ

析以上の精

度をもつよ

うに求め、

群速度はこ

れを数値微

分して求め

た。

Fig. 2 は

位相速度の

1次の分散

曲線を示し

したものであ

る。図1は無

限に位相速

度と円筒の

せん断波速

度との比、

横軸に左か

ら  $a_1/l$ , 右

から  $l/a_1$  を

とり全体と

して波長零から

無限大までを示

した。また円柱

の半の場合を実

線、二相円柱の

場合を実線で示

した。二相円柱

の位相速度はい

ずれも実線の直

線である。

Fig. 3 は

君羊速度

分散曲線

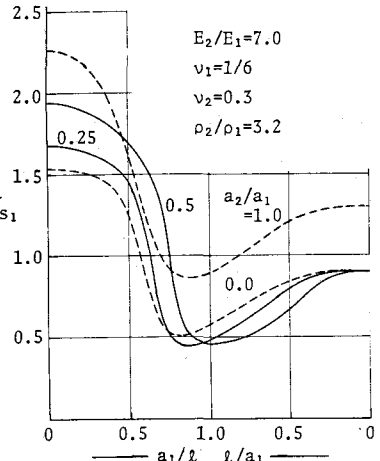


Fig. 3 君羊速度分散曲線

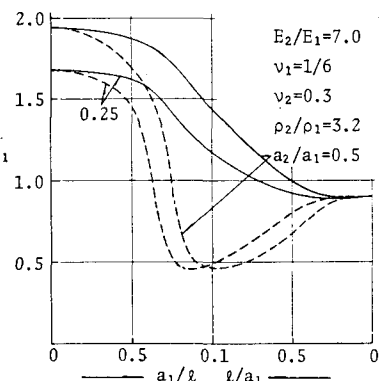


Fig. 4 位相速度と君羊速度

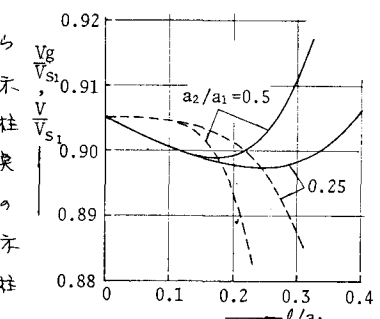


Fig. 5 位相速度と群速度

に存在しており、両弾性体の中間的性質を示すことがわかる。波長無限大では  $a_2/a_1 = 0.25$  のとき  $V/Vs_1 = 1.681$ ,  $a_2/a_1 = 0.5$  のとき  $V/Vs_1 = 1.942$  となるが、これは二相円柱を、体積に応じて換算材料定数をもつ円柱としたときの、それが“bar velocity” 1.679, と 1.940 とほぼ一致している。しかし波長零では二相円

柱は平均的な値とはならず、円筒体のレーレー波の速度に一致している。図.3は群速度の分散曲線を、図.2と同様に示したものである。図から明らかのように二相円柱の群速度は、きわめて弾性体の円柱の群速度とは、数倍的ではあるが、やはり異なる。すなわち、二相円柱の中間的な群速度をとらねることにより、2種類の円柱の群速度より小さい最小値を示す。図.4は二相円柱について位相速度と群速度を比較したものであるが、波長のほとんどの範囲に対し群速度の方が位相速度より大きい。図.5は、二相円柱における群速度の分布を示す。図より、群速度は円柱の半径方向に一定ではなく、外側ほど大きいことがわかる。

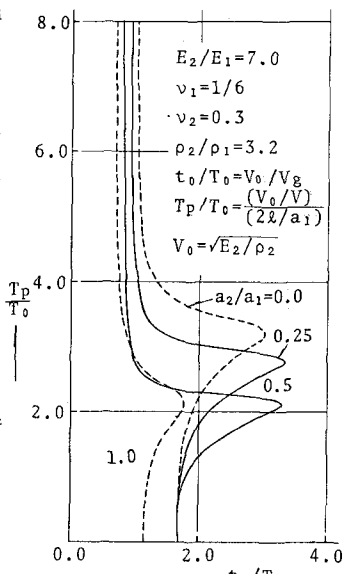


Fig. 6 到達時間と波長の関係

しかし、下図のように波長の短いところではこの関係が逆転している。図.6には、あらゆる波長の群が一様な強さで存在する場合に、ある位置に到達する波の波長とその時間の関係を示した。図に横軸が無次元化した時間で縦軸が波長を無次元化したものである。図によると、円筒体の材質による円柱と比較する二相円柱は、中心の円柱の大きさが大きくなるほど、波長の長い波の到達時間が短く、波が通過する時間は長くなることを示している。

図.7は  $\ell/a_1 = 50.0, 10.0, 2.0, 1.0, 0.5, 0.125, 0.05$  のときの波動モードを軸方向変位  $w$ 、応力  $\sigma_z$ 、 $\tau_{rz}$  について比較したものである。波長の長いところでは全断面一様に変位し、従って軸方向力もそれと並んで一定となる。円柱の外の場合は波長が短くなるにつれて表面波の様相を呈していくが、二相円柱ではかなり短い波長まで円柱部分はほぼ一様な変位である。ここで特徴的のはことは、円柱では波長が短くなると表面に波動が集中するが、二相円柱では一時的な複数箇所で集中する。最終的には境界面に集中することである。

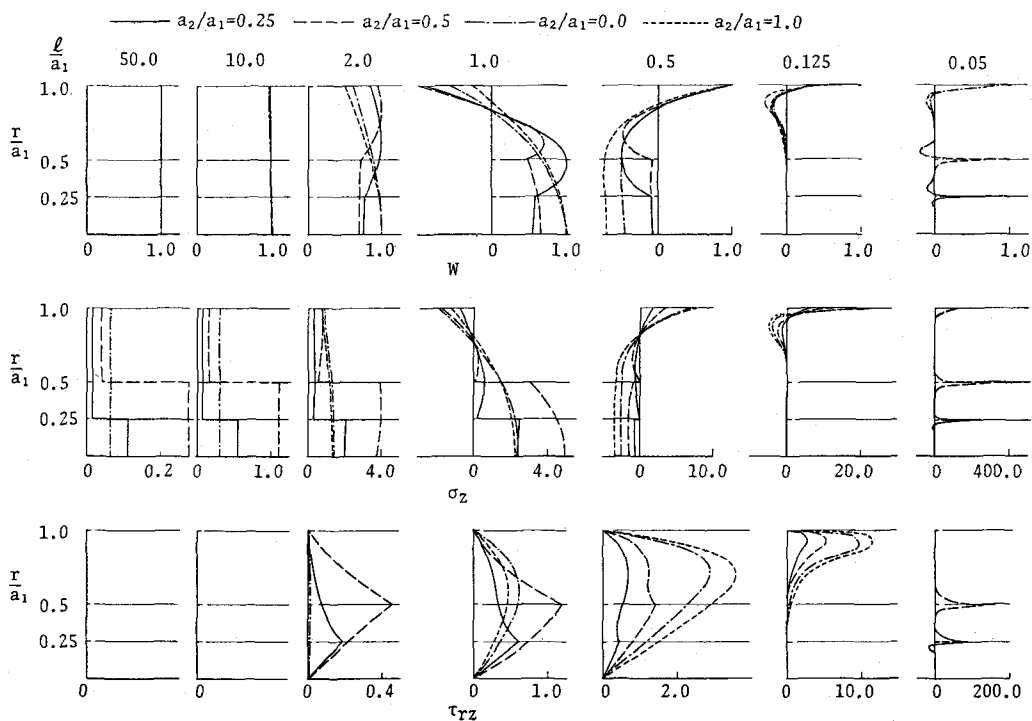


Fig. 7 軸方向変位  $w$ , 軸方向応力  $\sigma_z$ ,  $\tau_{rz}$  の波動モード

※参考文献 1) 松岡, 龍介; 土木学会論文報告集, 第258号, p.13, 1977, 2) 松岡, 龍介; 特相応力説明論文集, p.75, 1978.